Date: 12/12/2011 Page: 1/9 Responsable: Josselin DELMAS Clé: V8.22.101 Révision: 7981

# AHLV101 - Guide d'onde à sortie anéchoïque

### Résumé:

Un guide d'onde rectiligne à sortie anéchoïque, à parois rigides, dont le milieu de propagation est de l'air "normal", est excité par une onde incidente harmonique, normale à la face d'entrée. On calcule le champ de pression acoustique de la réponse harmonique en utilisant la formulation élasto-acoustique en pression-déplacement-potentiel des déplacements.

Les tests concernent 3 modélisations différentes (éléments finis élasto-acoustiques tridimensionnels, bidimensionnels et axisymétriques), ils permettent de valider les matrices de rigidité, de masse, d'impédance et du vecteur source pour les 3 modélisations.

Le résultat de référence provient d'un calcul analytique.

Date: 12/12/2011 Page: 2/9 Responsable: Josselin DELMAS Clé: V8.22.101 Révision: 7981

## Problème de référence

#### 1.1 Géométrie



Tube à section rectangulaire :

longueur:  $L = l_r = 1.0 \, m$  $h = l_v = 0.1 \, m$ hauteur: largeur:  $l = l_z = 0.2 m$ 

Coordonnées des points (en m):

	A	B	C	D
X	0.	0.	1.00	1.00
$\overline{y}$	0.	0.05	0.	0.05
$\overline{z}$	0.20	0.10	0.20	0.10

### 1.2 Propriétés des matériaux

Air:

$$\rho = 1.3 \, kg. \, m^{-3}$$
  
 $c = 343. \, m.s^{-1}$ 

### **Conditions aux limites et chargement** 1.3

Pression d'onde incidente normale à l'entrée  $P_i = P_0 * e^{i\omega t}$  Avec  $P_0 = 1.0 Pa$ 

Fréquence  $f = 500 \, Hz$ 

 $Z = \rho c = 445.9 \text{ kg.m}^{-2} \text{ s}^{-1}$ Impédance à l'extrémité CD

Date: 12/12/2011 Page: 3/9 Clé: V8.22.101 Responsable: Josselin DELMAS Révision: 7981

### Solution de référence

#### 2.1 Méthode de calcul utilisée pour la solution de référence

Les fréquences de l'excitation sont assez basses et conjointement le guide d'onde est suffisamment long par rapport à ses dimensions latérales pour qu'on se limite aux ondes planes : le phénomène est alors identique en tous points d'un plan d'onde, c'est-à-dire ne dépend pas des coordonnées décrivant les points de ce plan, y et z par exemple.

On donne dans cette hypothèse la solution générale bien connue des équations de l'acoustique pour les deux grandeurs **pression** p et **vitesse acoustique** v:

$$v = f\left(t - \frac{x}{c}\right) + g\left(t + \frac{x}{c}\right)$$
 éq 2.1-1

$$p = \rho c \left[ f \left( t - \frac{x}{c} \right) - g \left( t + \frac{x}{c} \right) \right]$$
 éq 2.1-2

Le guide est supposé fermé à l'extrémité d'abscisse L sur une impédance  $Z_L$  ; il se produit une réflexion au niveau de cette impédance, ce qui donne une onde de retour g.

En chaque point du guide, il y a alors superposition des deux fonctions f et g; par définition même l'impédance terminale  $Z_L$  impose au point d'abscisse L , entre p et v la relation.

$$\frac{p_L}{v_L} = Z_L$$

Dans le cas harmonique f et g s'écrivent :

$$f\left(t - \frac{x}{c}\right) = I e^{i\omega\left(t - \frac{x}{c}\right)}$$
$$g\left(t + \frac{x}{c}\right) = R e^{i\omega\left(t + \frac{x}{c}\right)}$$

où *I* et *R* sont déterminés par les conditions aux limites.

Dans le calcul de l'impédance  $Z = \frac{p}{v}$  en tout point x la variable temps cette fois s'élimine, conformément au calcul même des impédances et s'écrit :

$$Z(x) = Z_0 \frac{I e^{-i\omega \frac{x}{c}} - R e^{i\omega \frac{x}{c}}}{I e^{-i\omega \frac{x}{c}} + R e^{i\omega \frac{x}{c}}}$$

Date: 12/12/2011 Page: 4/9 Clé: V8.22.101 Révision: 7981 Responsable: Josselin DELMAS

L'impédance terminale devient :

$$Z_{L} = Z_{0} \frac{I e^{-i\omega \frac{L}{c}} - R e^{i\omega \frac{L}{c}}}{I e^{-i\omega \frac{L}{c}} + R e^{i\omega \frac{L}{c}}}$$

On appelle  $Z_0 = \rho c$  l'impédance itérative.

Sur la frontière fluide à l'entrée du guide la condition limite de type onde incidente imposée à  $P_i = P_0 e^{i\omega t}$ , s'obtient en écrivant à la frontière la relation linéaire suivante :

$$p - \rho c v_n = P_i \qquad \text{éq 2.1-3}$$

où  $v_n = v \cdot n$  est la vitesse suivant la normale unitaire n sortante du fluide.

On impose de plus à la sortie du guide une valeur d'impédance terminale  $Z_L = Z_0$  qui en fait une extrémité anéchoïque.

L'impédance terminale est égale à l'impédance itérative  $\,Z_0\,$  quand  $\,R\!=\!0\,$  , c'est-à-dire quand il n'y a pas d'onde de retour ; on a alors une onde progressive pure dans le sens de l'onde incidente, soit :

$$v = I e^{i\omega\left(t - \frac{x}{c}\right)}$$

$$p = \rho c I e^{i\omega\left(t - \frac{x}{c}\right)}$$

ainsi la relation d'onde incidente imposée [éq 2.1-3] s'écrit :

$$p - \rho c v_n = p(x=0) + \rho c v(x=0) = 2 \rho c I e^{i\omega t}$$

d'où on identifie  $2 \rho c \, I \, e^{i \omega t} = P_i$ ; on en déduit l'expression de l'onde **progressive** de pression dans le guide lorsqu'on impose  $P_i$  à l'entrée du guide :

$$p = \frac{P_i}{2} e^{-i\omega \frac{x}{c}} = \frac{P_0}{2} e^{i\omega \left(t - \frac{x}{c}\right)}$$

Titre : AHLV101 - Guide d'onde à sortie anéchoïque Date : 12/12/2011 Page : 5/9
Responsable : Josselin DELMAS Clé : V8.22.101 Révision : 7981

### 2.2 Résultats de référence

Pression aux points A, B, C, D (pour les modélisations A, B, C).

### 2.3 Incertitude sur la solution

Solution analytique.

## 2.4 Références bibliographiques

1.F. STIFKENS "Introduction dans le *Code\_Aster* de condition limite de type onde incidente en vibro-acoustique - Rapport HP-61/95/026/

Date: 12/12/2011 Page: 6/9

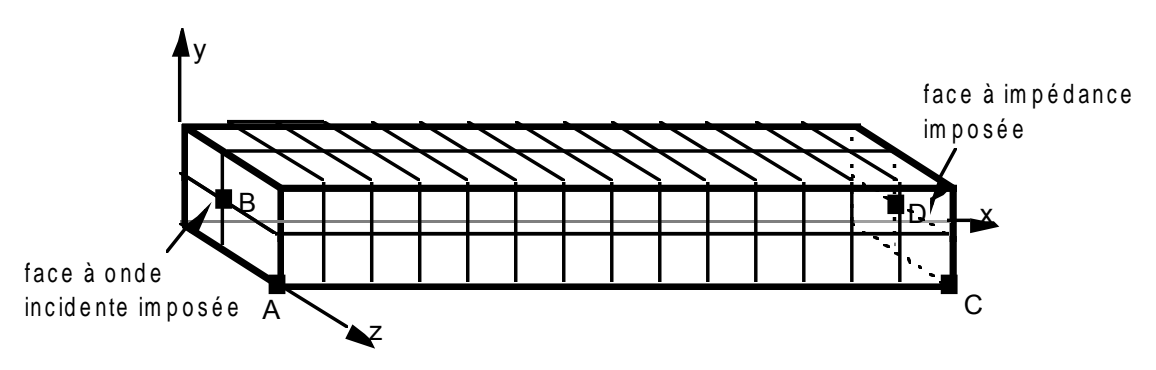
Titre : AHLV101 - Guide d'onde à sortie anéchoïque

Responsable : Josselin DELMAS Clé : V8.22.101 Révision : 7981

## 3 Modélisation A

### 3.1 Caractéristiques de la modélisation

Formulation pression-potentiel des déplacements éléments ' $3D_{FLUIDE}$ ' (MEFL\_HEXA20 et MEFL\_FACE8)



Découpage = 15 mailles HEXA20 selon l'axe des x

2 mailles HEXA20 selon l'axe des y

2 mailles HEXA20 selon l'axe des z

Conditions limites:

ONDE\_FLUI: (GROUP\_MA: Entrée PRES: 1.0 )
IMPE FACE: (GROUP MA: Sortie IMPE: 445.9)

Nom des nœuds A = No1 B = No780 C = No751 D = No763

## 3.2 Caractéristiques du maillage

Nombre de nœuds : 471

Nombre de mailles et types : 60 HEXA20 8 QUAD8

### 3.3 Valeurs testées

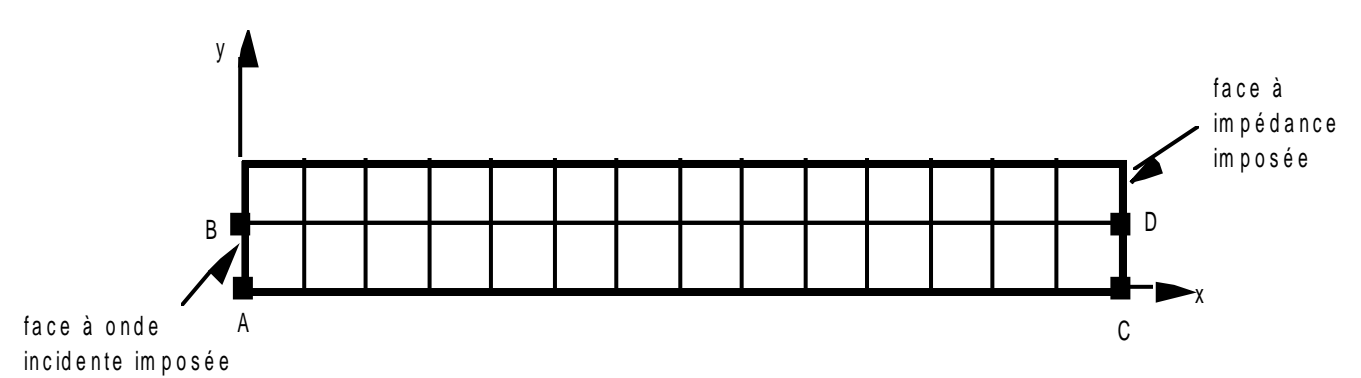
Localisation	Grandeurs	Référence
$\overline{A}$	p (réel)	0.5
	p (imag)	0.0
$\overline{B}$	p (réel)	0.5
	p (imag)	0.0
$\overline{C}$	p (réel)	-0.482466
	p (imag)	-0.131252
D	p (réel)	-0.482466
	p (imag)	-0.131252

Date: 12/12/2011 Page: 7/9 Responsable: Josselin DELMAS Clé: V8.22.101 Révision: 7981

#### **Modélisation B** 4

#### 4.1 Caractéristiques de la modélisation

Formulation pression potentiel des déplacements éléments '2D FLUIDE' (MEFLSE3 et MEFLQU8)



Découpage =

15 mailles QUAD8 selon l'axe des x

2 mailles QUAD8 selon l'axe des y

Conditions limites:

ONDE FLUI: (GROUP MA: Entrée PRES: 1.0 (GROUP MA: Sortie IMPE FACE: IMPE: 445.9)

Nom des nœuds

A = No1

B = No3

C = No751

D = No153

### Caractéristiques du maillage 4.2

Nombre de nœuds : 125

Nombre de mailles et types : 30 QUAD8 4 SEG3

#### 4.3 Valeurs testées

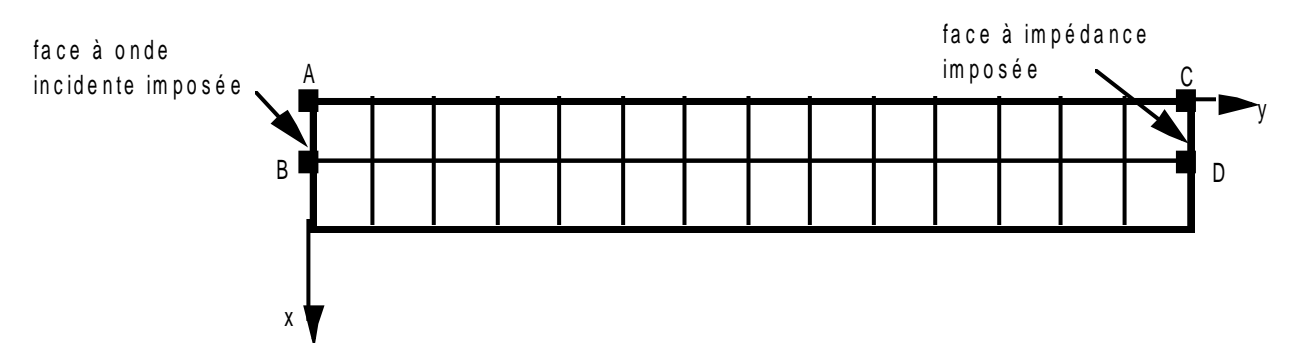
Localisation	Grandeurs	Référence	Aster	% différence
$\overline{A}$	p (réel)	0.5	0.499997	6 10-4
	p (imag)	0.0	1.2 10 <sup>–5</sup>	-
$\overline{B}$	p (réel)	0.5	0.499997	6 10-4
	p (imag)	0.0	1.2 10 <sup>–5</sup>	-
$\overline{C}$	p (réel)	-0.482466	-0.482352	2.4 10-2
	p (imag)	-0.131252	-0.131670	3.2 10 <sup>-1</sup>
$\overline{D}$	p (réel)	-0.482466	-0.482352	2.4 10-2
	p (imag)	-0.131252	-0.131670	3.2 10-1

Date: 12/12/2011 Page: 8/9 Responsable: Josselin DELMAS Clé: V8.22.101 Révision: 7981

### **Modélisation C** 5

#### 5.1 Caractéristiques de la modélisation

Formulation pression-potentiel des déplacements éléments 'AXIS FLUIDE' (MEAXFLS3 et MEAXFLQ8)



Découpage =

- 15 mailles QUAD8 selon l'axe des y
- 2 mailles QUAD8 selon l'axe des x

Conditions limites:

ONDE FLUI: (GROUP MA: Entrée PRES: 1.0 IMPE FACE: (GROUP MA: Sortie IMPE: 445.9)

Nom des nœuds A = No1 B = No3

C = No151

D = No153

### 5.2 Caractéristiques du maillage

Nombre de nœuds :

30 QUAD8 4 SEG3 Nombre de mailles et types :

#### 5.3 Valeurs testées

Localisation	Grandeurs	Référence	Aster	% différence
$\overline{A}$	p (réel)	0.5	0.499997	6 10–4
	p (imag)	0.0	1.2 10 <sup>-5</sup>	-
$\overline{B}$	p (réel)	0.5	0.499997	6 10–4
	p (imag)	0.0	1.2 10 <sup>−5</sup>	-
$\overline{C}$	p (réel)	-0.482466	-0.482352	2.4 10-2
	p (imag)	-0.131252	-0.131670	3.2 10 <sup>-1</sup>
$\overline{D}$	p (réel)	-0.482466	-0.482352	2.4 10-2
	p (imag)	-0.131252	-0.131670	3.2 10 <sup>-1</sup>

Titre : AHLV101 - Guide d'onde à sortie anéchoïque

Date : 12/12/2011 Page : 9/9

Responsable : Josselin DELMAS Clé : V8.22.101 Révision : 7981

## 6 Synthèse des résultats

La discrétisation est forte puisqu'elle est d'environ 45 nœuds par longueur d'onde. C'est pourquoi nous obtenons des résultats d'une précision élevée : la pression calculée par *Code\_Aster* au point le moins favorable diffère de la valeur théorique de moins de 1%.

Il faut noter aussi que toutes les modélisations utilisées donnent des résultats identiques.